НАУЧНЫЕ ИССЛЕДОВАНИЯ И РАЗРАБОТКИ

К. т. н. О. А. Белогурова (🖂), М. А. Саварина, Т. В. Шарай

ФГБУН «Институт химии и технологии редких элементов и минерального сырья им. И.В. Тананаева Кольского научного центра Российской академии наук», г. Апатиты Мурманской обл., Россия

УДК 666.762.14+666.762.85]:62-492.3.001.5

ПЛОТНЫЕ ОГНЕУПОРЫ ИЗ КАРБИДИЗИРОВАННЫХ ГРАНУЛ

Рассмотрен процесс получения плотных огнеупорных материалов на основе карбидизированных гранул из кианитовой руды. Проведены испытания в многослойной футеровке на экспериментальной установке. Приведены зависимости температуры холодной поверхности футеровки от ее толщины, а также показателей плотности теплового потока и эквивалентного коэффициента теплопроводности от толщины слоя муллитокордиеритового теплоизоляционного материала из гранул.

Ключевые слова: карбидизированные гранулы, муллит, карбид кремния, многослойная футеровка, плотность теплового потока, эквивалентный коэффициент теплопроводности.

настоящее время в промышленную переработку вовлекаются бедные и труднообогатимые руды сложного вещественного состава. Их добыча и обогащение связаны с ростом затрат при снижении извлечения полезных компонентов, а получаемые минеральные концентраты не всегда отвечают техническим условиям и требованиям современной промышленности. В наших работах [1-5] показана возможность использования некондиционного, непластичного природного алюмосиликатного сырья Мурманской области и техногенных отходов для создания ряда материалов. Результаты исследований по карбидизации алюмосиликатной матрицы позволяют предположить, что существует вероятность обеспечить прочность и термостойкость огнеупоров в сочетании с торможением окисления.

Концепция огнеупорного материала на основе гранул из углерода и суглинков была представлена исследователями D. Cölle, C. G. Aneziris, W. Schärfl и S. Dudczig в 2007 г. [6–15]. Суглинки представляли собой природные смеси кварца и глинистых минералов, состоящих из мелких фракций каолиновых микрочастиц и аморфных алюмосиликатных фаз субмикронных размеров. В качестве связки была использована углеродистая смола, которая обладает высокой температурой плавления и образует ориентированные графитоподобные структуры после коксования. Полученные углеродсодержащие алюмосиликатные композиты в зависимости от термообработки характеризуются

⊠ О. А. Белогурова E-mail: belog oa@chemy.kolasc.net.ru плотностью до 2200 кг/м³, открытой пористостью до 20 %, пределом прочности при сжатии выше 30 МПа. Эти материалы опробовали не только в зонах спекания шахтных печей, но и как монолитные и фасонные изделия для металлургической промышленности [6–15].

Цель работы — разработка плотных огнеупоров различных составов на основе карбидизированных гранул из кианитового сырья Мурманской области и исследование этих и ранее полученных материалов в многослойной футеровке.

Карботермические реакции в условиях восстановительной среды для псевдозакрытой системы Al₂O₃-SiO₂-С приводят к образованию SiC. В процессе карбидизации приходится сталкиваться с восстановлением диоксида кремния, присутствующего в качестве как примеси в руде, так и выделившегося в процессе муллитизации. Согласно термодинамическим расчетам возможны реакции SiO₂ с углеродом, приводящие к образованию карбида кремния. На процесс влияют размер частиц, наличие тесного контакта и тип углеродного восстановителя [1-3]. Диффузия SiO в объеме образца способствует переносу кремния по поровому пространству с последующей карбидизацией (SiO + 2C = SiC + CO). Улавливание газообразного монооксида кремния и связывание его в карбид происходят на поверхности углеродных частиц. При высоком содержании углеродных частиц общая площадь поверхности становится больше, и доля кремния, задерживаемого в системе, возрастает.

При получении ряда муллитосодержащих огнеупоров важное место в процессах формирования структуры принадлежит модифицирующим добавкам, например SiC и отходам производства ферросилиция (ОПФ). Исполь-

№ 5 2015 HOBble OTHEYNOPЫ ISSN 1683-4518 **43**

Таблица 1. Особенности подготовки составов к гранулированию						
Гранулы	Сырье для гранул	Последовательность подготовки к гранулированию				
КРУ	Кианитовая руда + углерод	Кианитовую руду смешивали с частью углерода и ЛСТ, вылеживали, добавляли остаток углерода и ЛСТ, вылеживали, гранулировали				
КРУА	Кианитовая руда + углерод + алюминиевая пудра	Кианитовую руду смешивали с частью углерода, алюминиевой пудрой и ЛСТ, вылеживали, затем вводили остаток углерода и ЛСТ, вылеживали, гранулировали				

T C	_				
Таблица	,	-ATSITLE	ПОПГО	TOPKI	IIIIIIVTLI
таолица	۷.	JIAIIDI	подго	IUDKN	шиліы

TOOMIGU 2. STORE HOLE STORE WINTER						
Шихта	Компоненты	Последовательность операций				
1	Гранулы КРУ + карбид кремния + ОПФ	Гранулы смешивали с ОП Φ и ЛСТ, вылеживали, вводили крупную фракцию SiC, вылеживали				
2	Гранулы КРУ + карбид кремния + ОП Φ + связка на основе MgO	Гранулы смешивали с ОПФ и крупной фракцией SiC, вводили связку на основе периклазового цемента				
3	Гранулы КРУ + алюминиевая пудра	Гранулы смешивали с алюминиевой пудрой и ЛСТ, вы- леживали				
4	Гранулы КРУА + карбид кремния + ОПФ	Гранулы смешивали с ОП Φ и ЛСТ, вылеживали, вводили крупную фракцию SiC, вылеживали				
5	Гранулы КРУА + карбид кремния + ОП Φ + связка на основе MgO	Гранулы смешивали с ОП Φ и крупной фракцей SiC, вводили связку на основе периклазового цемента				
6	Гранулы КРУА + алюминиевая пудра	Гранулы смешивали с алюминиевой пудрой и ЛСТ, вы- леживали				

зование в составе шихты ОПФ приводит к их уплотнению и упрочнению за счет реакционного спекания, так как кремний — основная его составляющая — в процессе обжига взаимодействует с монооксидом углерода внутренней восстановительной среды и в качестве продукта реакции получается карбид кремния, упрочняющий матрицу и придающий ей термостойкость. Влияние SiC обусловлено более высокой теплопроводностью, более низким ТКЛР и отсутствием анизотропии ($\lambda = 30~{\rm BT/(M \cdot K)}$, $\alpha = 3.6 \cdot 10^{-6}~{\rm K}^{-1}$) по сравнению с муллитом ($\lambda = 3.0 \div 3.5~{\rm BT/(M \cdot K)}$, $\alpha_a = 5.2 \cdot 10^{-6}~{\rm K}^{-1}$, $\alpha_b = 7.1 \cdot 10^{-6}~{\rm K}^{-1}$, $\alpha_c = 2.4 \cdot 10^{-6}~{\rm K}^{-1}$ при 298–1098 K).

Нами показано, что свойства муллитосодержащих материалов могут быть улучшены при

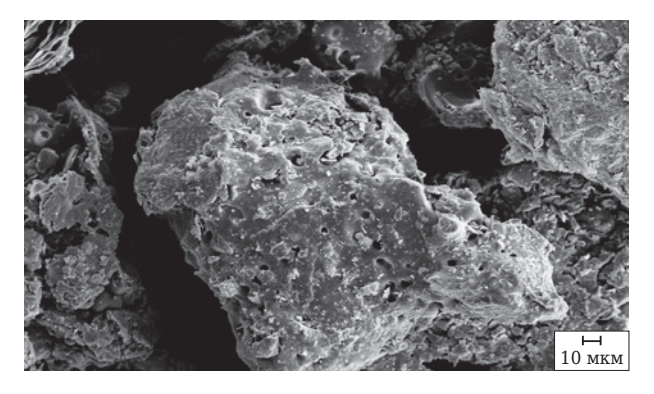


Рис. 1. SEM-микрофотография поверхностной структуры карбидизированных гранул на основе кианитовой руды и углерода

введении в шихту карбидизированных гранул из кианитовой руды и проведения обжига в восстановительных условиях. При получении плотного огнеупора авторы учитывали результаты своих предыдущих исследований процесса грануляции с углеродной составляющей для теплоизоляционных материалов [16-18]. Гранулы из кианитовой руды, углерода и алюминиевой пудры на связке из лигносульфоната (ЛСТ) получали, исходя из последовательности действий, приведенных в табл. 1. Обжигали гранулированный материал в графитовых тиглях при 1350 °C. Поверхностную структуру карбидизированных гранул, полученных после обжига, исследовали на сканирующем электронном микроскопе LEO-420 «Zeiss», Германия (рис. 1).

Полученный алюмосиликатнокарбидкремниевый керамический фракционированный материал использовали при получении плотных огнеупоров в составе шихты с отходом производства ферросилиция и крупной фракцией SiC. Особенности подготовки шихты с различными составами гранул приведены в табл. 2. Образцы прессовали под нагрузкой 70 МПа и обжигали в восстановительных условиях при 1450 °C. Некоторые физико-технические характеристики материалов в зависимости от состава шихты показаны на рис. 2.

Проведены испытания полученных огнеупорных материалов в многослойной футеровке

44 HOBЫE OFHEYNOPЫ ISSN 1683-4518 № **5 2015**

на экспериментальной установке, реализующей модель теплопроводящего «стержня» с минимизированными тепловыми потерями с боковой поверхности. Установка представляет собой печь с вертикальной загрузкой, на выходное отверстие которой последовательно укладываются слои футеровки (огнеупорный, конструкционно-теплоизоляционный и теплоизоляционный). Каждый слой состоит из нескольких частей, которые соединяются между собой огнеупорной смесью. На поверхностях и в середине слоев футеровки устанавливают термопары, позволяющие фиксировать изменение температуры.

Рассчитаны плотности тепловых потоков и эквивалентные коэффициенты теплопроводности для многослойной футеровки, состоящей из муллитокордиеритового карбидкремнийсодержащего огнеупора и муллитокордиеритового теплоизоляционного материала, керамовермикулита, конструкционно-теплоизоляционного и теплоизоляционного жаростойкого вермикулитобетона. График зависимости температуры холодной поверхности футеровки T_1 от толщины слоя огнеупора и теплоизоляции показан на рис. 3. Слои на основе конструкционно-теплоизоляционного и теплоизоляжаростойкого вермикулитобетона присутствуют во всех рассматриваемых футеровках.

В многослойных плоских теплоизолирующих ограждениях температура материала на расстоянии δ_i от нагретой поверхности без учета теплопередачи в окружающую среду и без внутренних источников тепла определяется уравнением

$$\frac{T_2 - T_i}{T_1 - T_2} = \frac{R_i}{R_{\text{obij}}},\tag{1}$$

где T_1 — температура холодной поверхности; T_2 — температура горячей поверхности; T_i — температура в толще материала на расстоянии δ_i от горячей поверхности; R_i — термическое сопротивление на расстоянии δ_i от горячей поверхности; $R_{\text{общ}}$ — термическое сопротивление всего теплоизолирующего ограждения,

$$R_{\text{общ}} = \sum_{i}^{n} \frac{\delta_{i}}{\lambda_{i}},\tag{2}$$

где δ — толщина i-го слоя; λ — коэффициент теплопроводности i-го слоя; n — число слоев теплоизолирующего материала с различной теплопроводностью λ_i и соответственной толщиной слоев δ_i .

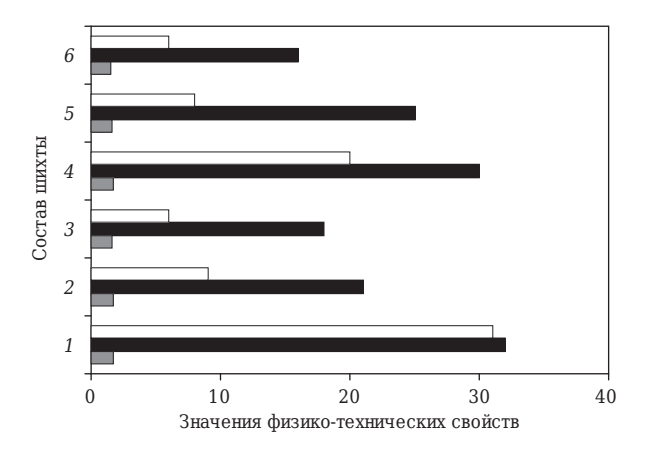


Рис. 2. Влияние состава шихты на свойства материалов:
— термостойкость, теплосмены;
— предел прочности при сжатии, МПа;
— кажущаяся плотность, $\mathbf{r}/\mathbf{c}\mathbf{m}^3$

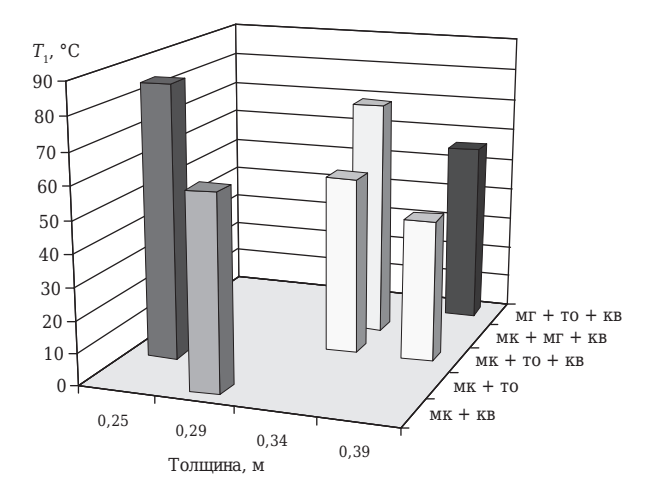


Рис. 3. Влияние толщины слоев многослойной футеровки на температуру холодной поверхности. Материал футеровки из карбидизированных гранул: мк — муллитокордиеритовый; мг — муллитографитовый; то — муллитокордиеритовая теплоизоляция; кв — керамовермикулит

Уравнение (1) может быть представлено в следующей форме:

$$\frac{T_2}{T_2} - \frac{T_i}{T_2} = \frac{R_i(T_1 - T_2)}{T_2 R_{06\mu_i}},$$
(3)

$$\frac{T_i}{T_2} + \frac{R_i}{T_2 R_{\text{o6uu}}} = 1. \tag{4}$$

Это уравнение является уравнением прямой в отрезках:

$$\frac{x}{a} + \frac{y}{b} = 1,\tag{5}$$

где
$$x = T_i$$
; $y = R_i$; $a = T_2$; $b = \frac{T_2 R_{\text{общ}}}{T_1 - T_2}$.

Таким образом, температура T_i является линейной функцией термического сопротив-

№ 5 2015 HOBBIE OTHEYNOPBI ISSN 1683-4518 **45**

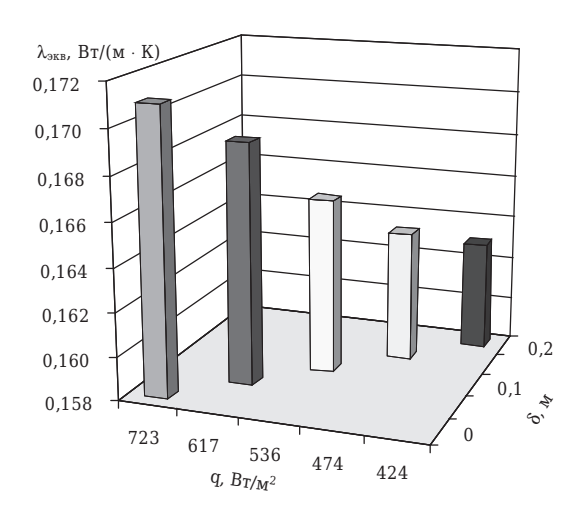


Рис. 4. Влияние толщины δ слоя муллитокордиеритового теплоизоляционного материала на основе карбидизированных гранул на плотность теплового потока q и эквивалентный коэффициент теплопроводности λ_{3KB}

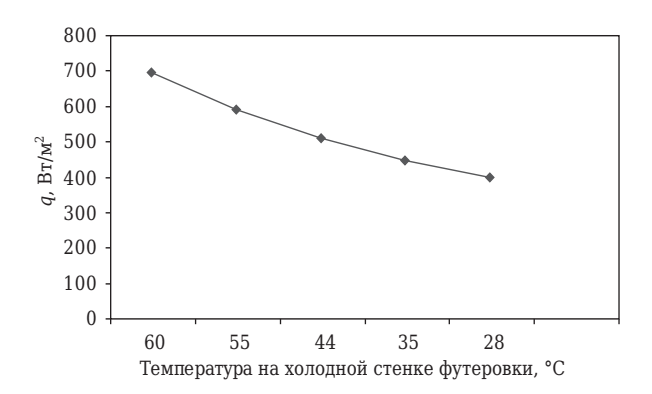


Рис. 5. Влияние плотности теплового потока на температуру холодной стенки футеровки

ления R_i . На этой закономерности построен принцип определения коэффициента теплопроводности в стационарном тепловом потоке. Согласно уравнению теплопроводности Фурье плотность теплового потока пропорциональна разности температур:

$$q = -\lambda \frac{T_1 - T_2}{\delta},\tag{6}$$

где q — средняя плотность теплового потока, проходящего через образец; δ — толщина слоя теплоизоляции.

Библиографический список

- 1. **Белогурова, О. А.** Фазообразование в муллитографитовых огнеупорах / О. А. Белогурова, Н. Н. Гришин // Огнеупоры и техническая керамика. 2010. N27/8. C.48–55.
- 2. **Белогурова**, **О. А.** Фазообразование в модифицированных муллитосодержащих материалах / О. А. Белогурова, Н. Н. Гришин // IV Международная конференция «Проблемы рационального использо-

Для многослойного материала:

$$q = \frac{t_1 - t_{n+1}}{\sum_{i=1}^n \frac{\delta_i}{\lambda_i}}. (7)$$

Из экспериментальных данных определяется эквивалентный коэффициент теплопроводности многослойной стенки $\lambda_{\text{экв}}$:

$$\lambda_{\text{SKB}} = \frac{\sum_{i}^{n} \delta_{i}}{\sum_{i}^{n} \frac{\delta_{i}}{\lambda_{i}}}.$$
 (8)

Графики зависимости плотности теплового потока и эквивалентных коэффициентов теплопроводности от толщины муллитокордиеритового теплоизоляционного материала в слое футеровки, а также температуры холодной стенки футеровки от плотности теплового потока показаны на рис. 4, 5.

В результате исследования отметим важность того, что:

- технологические разработки регионального научного центра РАН должны быть ориентированы на местные природные ресурсы, поэтому в качестве основных природных компонентов в настоящей работе выбраны кианитовая руда свиты Кейв, ковдорский вермикулит Кольского полуострова;
- использование модифицирующих добавок обеспечивает регулирование процессов фазообразования и формирования микроструктуры, которое позволяет добиться требуемых технических характеристик материалов. В качестве основы проводимых исследований выбрана научная концепция состав структура свойства;
- некоторые из полученных огнеупорных материалов опробованы в многослойной футеровке на экспериментальной установке. Рассчитаны плотности теплового потока, термическое сопротивление и эквивалентный коэффициент теплопроводности, как основные показатели высокотемпературных теплоизолирующих ограждений промышленных установок. Приведены их зависимости от толщины футеровки в целом и толщины слоя муллитокордиеритового теплоизоляционного материала из гранул.

вания природного и техногенного сырья Баренцева региона в технологии строительных и технических материалов» (6–10 июня 2010, Архангельск). — Архангельск: ГОУ ВПО Архангельский ГТУ, 2010. — С. 161–165.

3. **Гришин, Н. Н.** Особенности поведения кианита в псевдозакрытой и псевдооткрытой системе Al_2O_3 — SiO_2 —C / H. H. Γ puшин, O. A. Eелогурова,

- $A. \Gamma.$ Иванова [и др.] // Цветные металлы. 2011. № 11. С. 9–13.
- 4. Белогурова, О. А. Карботермическое восстановление ставролита / О. А. Белогурова, Н. Н. Гришин, Ю. Н. Нерадовский [и др.] // Огнеупоры и техническая керамика. 2011. № 4/5. С. 87–91.
- 5. **Белогурова**, **О. А.** Термостойкие огнеупоры и высокотемпературные теплоизоляционные материалы из сырья Кольского полуострова / О. А. Белогурова // Север промышленный. 2011. № 3. С. 25–27.
- 6. *Cölle, D.* Evaluation of a carbon containing model-granules system based on loomy clay raw materials / *D. Cölle, C. G. Aneziris, S. Dudczig //* Proc. 49th Int. Coll. on Refractories, Stahl & Eisen Special, Aachen. 2006. P. 97–99.
- 7. *Cölle, D.* Novel alumosilicate-carbon composites for application in shaft furnaces / *D. Cölle, C. G. Aneziris, W. Schärfl, S. Dudczig* // Proc. UNITECR 2007, Dresden. P. 148–151.
- 8. *Schärfl, W.* Design and development of alumosilicatecarbon composites for application in shaft furnaces / *W. Schärfl, D. Cölle, C. G. Aneziris, V. Roungos* // Proc. UNITECR 2009. Brasilia.
- 9. **Siebert**, **M.** Processing and development of carbon containing alumosilicate composite materials / M. Siebert, C. G. Aneziris, P. Gehre, W. Schärfl // Proc. 53th Int. Coll. on Refractories, Stahl & Eisen Special, Aachen. 2010. P. 233–235.
- 10. **Cölle, D.** A contribution to the characterization of the «Eisenberger Klebsand» so called «Luting Sand» as an economic resource and a sustainable raw material for refractories / D. Cölle, C. G. Aneziris, J. Werner // Proc. 53th Int. Coll. on Refractories, Stahl & Eisen Special, Aachen. -2011.-P.1-3.
- 11. **Aneziris, C. G.** Carbon containing castables and more / C. G. Aneziris, S. Dudczig // Advances in science and Technology. 2010. Vol. 70. P. 72–81.
- 12. **Roungos**, V. Improved thermal shock performance of Al₂O₃–C refractories due to nanoscaled additivies /

- V. Roungos, C. G. Aneziris // Ceramics International. 2011. Vol. 38, № 2. P. 919–927.
- 13. *Schärfl, W.* Properties and processing of shaped alumosilicate-carbon composites for application in the shaft furnaces / *W. Schärfl, C. G. Aneziris, U. Klippel, V. Roungos* // URL: http:www/ekw-feuerfest.de/date/documents// 123425941449247.pdf.
- 14. *Krause, O.* The impact of appropriate mixing treatment on the installation properties of unshaped refractory products / O. *Krause, D. Cölle* // URL: http://www/ekw-feuerfest.de/date/documents // 126519553793546.pdf.
- 15. *Cölle, D.* New environmentally friendly carbon bonded alumosilicate Refractories: from concept to application / *D. Cölle, M. P. Wiessler, C. G. Aneziris //* URL: http:www/ekw-feuerfest.de/date/documents // 1313751771127088.pdf].
- 16. **Белогурова О. А.** Карбидизированные теплоизоляционные материалы из кианитовой руды / О. А. Белогурова, Н. Н. Гришин // Новые огнеупоры. 2012. № 1. С. 31–36.
- **Belogurova, O. A.** Carbidized heat insulation materials from kyanite ore / O. A. Belogurova, N. N. Grishin // Refractories and Industrial Ceramics. 2012. Vol. 53, Ne 1. P. 26-30.
- 17. **Белогурова**, **О. А.** Легковесные муллитокордиеритовые материалы из кианитовой руды Кейвского месторождения / О. А. Белогурова, М. А. Саварина, Т. В. Шарай // Огнеупоры и техническая керамика. 2013. № 7/8. С. 72—77.
- 18. **Белогурова, О. А.** Термостойкие огнеупоры из кианитовой руды Кейвского месторождения / О. А. Белогурова, М. А. Саварина, Т. В. Шарай // Новые огнеупоры. 2013. № 9. С. 19–23. ■

Получено 19.12.14 © О. А. Белогурова, М. А. Саварина, Т. В. Шарай, 2015 г.

НАУЧНО-ТЕХНИЧЕСКАЯ ИНФОРМАЦИЯ



Ceramitec 2015 — Технологии, Инновации, Материалы

20-23 октября 2015 г.

г. Мюнхен, Германия

http://www.ceramitec.de/en/home

№ 5 2015 HOBBIE OTHEYNOPBI ISSN 1683-4518 **47**